

长乐-南澳变形变质带地球化学特征

陶于祥

欧阳自远 谢鸿森

(南京农业大学资源环境系,南京)

(中国科学院地球化学研究所,贵阳)

内容提要 同位素年代学研究表明:长乐-南澳变形变质带存在元古宙的古陆块,随后至少经历了加里东、印支、燕山、喜马拉雅等4期构造热事件。岩石化学特征显示:加里东基底岩石为正变质岩;印支、燕山期盖层岩石有正变质岩,也有负变质岩。从加里东→印支、燕山期, SiO_2 含量从低到高, $\text{FeO}+\text{MgO}+\text{CaO}+\text{TiO}_2$ 含量由高到低呈现规律性变化。稀土地球化学研究表明:加里东期基底岩石稀土总量较低,轻重稀土轻度分异,Eu正异常,为轻稀土轻度富集,重稀土平坦型;印支、燕山期盖层岩石稀土元素总量较高,轻重稀土强烈分异,Eu负或无异常,为轻稀土富集、重稀土强烈亏损型。从加里东→印支、燕山期、稀土总量从低到高,轻重稀土分异由弱到强,Eu从正异常到负或无异常呈现规律性演化。

关键词 长乐-南澳变质岩 常量元素 稀土元素

长乐-南澳变形变质带纵贯闽、粤东南沿海滨岸地区。长500km,宽40—60km。该带控制着福建、广东东南沿海火山岩浆活动、变质作用和地震活动,蕴藏丰富的非金属矿产(如石英砂矿、叶蜡石矿等),具重要的构造学及成矿学意义。由于本区变质岩时代问题一直悬而未决,对其构造演化的认识一直混沌不清。本文着重探讨其地球化学特征及演化规律。

1 区域地质背景

长乐-南澳变形变质带分布于台湾海峡西岸的福建长乐、福清、莆田、惠安、晋江、金门、龙海、东山和广东南澳等岛屿和滨海地区(图1),有关本带的大地构造性质存在争论。郭令智等^[1]认为该带为燕山期火山山弧带;孙鼎等^[2]认为本带为区域变质作用、混合岩化作用、深大断裂“三位一体”;任纪舜等^[3]指出:该带为典型的地槽褶皱系,属亚洲东部滨太平洋中生代褶皱系的一部分;地洼学说认为该带为闽浙式地洼区(岩浆活动十分强烈,形成很多花岗侵入体和大量火山喷发物)的典型例证,现阶段的大地构造性质为地洼区^[4—5];李根坤^[6]认为长乐-南澳变形变质带实为一碰撞混杂岩带。

长乐-南澳变形变质带由一系列大致平行的断裂及三个变质相带组成。主要断裂有:福清东张-诏安汀洋浦断裂、长乐-南澳断裂、平潭平原-东山澳角断裂、滨海断裂等^[7]。变质相带从东到西分为:高角闪岩相带(C带)、低角闪岩相带(M带)、绿片岩相带(I带)^[8]。区域变质岩的主要类型有:变质砂岩、千枚岩、片理化火山岩、片岩、变粒岩、浅粒岩、片麻岩、混合岩、混合花岗岩、石英岩等。沿长乐-南澳主断裂带还分布一套从碎裂岩-糜棱岩-超糜棱岩的动力变质岩系列。沿主干断裂存在着明显的韧性剪切作用标志:(1)断裂带内存在规模巨大的糜棱岩带;

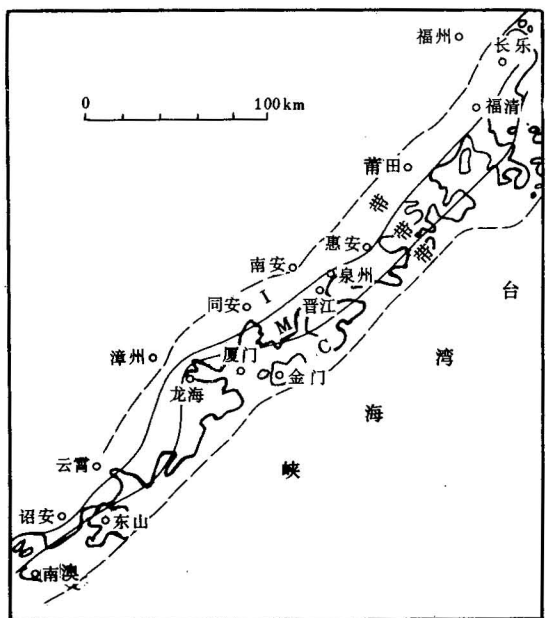


图1 长乐-南澳变形变质带变质相分布图

(据谢窦克, 1989^[8])

Fig. 1 The metamorphic facies distribution map of
Changle-Nanauo deformation metamorphic belt
(from Xie Douke, 1989^[8])

C 高角闪岩相带; M 低角闪岩相带; I 绿片岩相带
C Upper hornblendite facies belt; M low hornblendite
facies belt; I green schist facies belt

后,它至少经历了4次构造热事件。第一次为加里东构造热事件。第一次为加里东构造热事件。东山苏峰山石榴二云钾长片麻岩 Sm-Nd 等时线年龄为 535.3 ± 170.3 Ma^[10]; 福清沙浦黑云角闪斜长变粒岩包体 Rb-Sr 等时线年龄为 483 ± 21 Ma^[14]; 莆田忠门及晋江正变质岩 Sm-Nd 等时线年龄分别为 463 ± 15 Ma, 509 ± 20 Ma^[14]; 莆田忠门片麻状混合岩 U-Pb 法测定年龄为 593.3 Ma^[12]。此外,早古生代早期藻类化石,晚寒武世至早奥陶世维管束植物碎片的发现^[11,13],进一步说明本带具加里东构造热事件的发生。第二次为印支期构造热事件。东山冬古片岩全岩 Rb-Sr 等时线年龄为 202 ± 12 Ma^[8], 福清沙浦黑云角闪斜长变粒岩 Rb-Sr 等时线年龄为 202 ± 21 Ma^[2]; 平潭北厝 Rb-Sr 全岩(磷灰石)等时线年龄为 231 ± 35 Ma^[9]。第三次为燕山期构造热事件。燕山早期:东山苏峰山 Rb-Sr 法年龄为 186.7 Ma^[16]; 晋江金井变质岩 Rb-Sr 法年龄为 177.7 Ma^[8]; 长乐花岗岩成岩年龄 165 ± 13 Ma^[8]。燕山晚期:金门-马祖-澎湖一带花岗片麻岩、花岗质岩石 Rb-Sr 等时线年龄

(2) 断层岩中石英、长石、云母等矿物具明显的流动状构造和微褶皱,顺着糜棱页理发育着石香肠;(3)从深部到地表(从东到西)断裂作用性状和断裂岩石发生明显的递进变化。西部(浅部)以脆性剪切滑动为主;中部以脆-韧性剪切为主,断层岩为断层泥-碎裂岩-超碎裂岩;东部(深部)以韧性剪切为主,其断层岩为糜棱岩-花岗糜棱岩-眼球状糜棱岩系列^[7]。

2 变质岩时代

60年代初及其以前,普遍认为这些变质岩是华夏古陆的一部分,变质岩的原岩时代属前震旦纪。刘征瑞^①认为这些变质岩既有燕山期,也有更老时期的产物。任纪舜^[3]认为是中生代产物。近年来,杨泰铭^[9]、谢窦克^[10]、俞文明等^[11],许景伟等^[12]、黄辉等^[13,14]从古生物、年代学多方面证实本区存在古生代变形变质岩。本区已取得近70个同位素年龄数据(择其要列表1)。将所测得的年龄作频率统计,以 92.6 — 231 Ma 区间为最高,说明其主要为中生代变形变质带,但又经历了复杂的地质历史。部分岩石同位素年龄在 1000 Ma 左右,说明本带存在元古宙的古陆块。随

① 刘征瑞. 对福建沿海地区变质岩的一些看法. 福建地质科技情报. 1962(1).

② 杨泰铭. 地质报. 1985, 11. 29.

③ 福建区测队. 长乐-东山构造带地质特征及演化历史的研究. 1986.

大多为90—120Ma^[15],该期为本带最主要的构造热事件。第四期为喜马拉雅期构造热事件,年龄为36—85Ma^[8],形成NE—NNE向的强烈形变,导致沿海火山岩及其以前的地层遭受变质,海西期运动在本带没有反映^[16]。

表1 长乐-南澳变形变质带同位素年龄统计表

Table 1 Statistical table of isotopic ages from Changle-Nanao deformation metamorphic belt

方法	测定年龄个数	等时线年龄(Ma)	资料来源
Sm-Nd	5	463±15, 509±20, 535.3±170.3, 1186±160, 1361	[6][8][14]
Rb-Sr	25	36, 62, 92.6±2.0, 94.2±3.0, 95.0±2.0, 95.5±4.0, 96.7, 97±2.0, 98.1±12.4, 99±8.0, 99.4, 105±9.0, 109.2±7.0, 110.6, 135.3±19.4, 141.9, 164.1, 165±13, 177.7±7.3, 186.7, 199, 202±12, 202±21, 231±35, 483±21	① ② [2] [6] [8] [9] [15] [17]
K-Ar	5	56, 62.4, 66.6, 123.1, 161	[6] [8] [16]
U-Pb	3	113.5, 142, 593.3	[12] [16]

①福建省区测队·1:20万漳州幅区域地质调查报告(地质部分).1979.

②福建省区测队·长乐-东山构造带地质特征及演化历史的研究·1986.

3 变形变质带地球化学特征及其反映的构造信息

3.1 早古生代岩石地球化学特征

常量元素地球化学特征 长乐-南澳变形变质带是否存在加里东基底?这是一个地学界长期争论的重大疑难问题。近年来,大量的同位素年龄(表2)确认了加里东基底的存在。表2说明:本带北段(福清、莆田)-中段(晋江)-南段(东山)均有加里东期基底变质岩出露^[17]。

表2 长乐-南澳变形变质带加里东期岩石等时线年龄及Nd,Sr初始值

Table 2 Isochron age and Nd, Sr primitive value of Caledonian rock from
Changle-Nanao deformation metamorphic belt

采样地点	岩石名称	方法	(⁸⁷ Sr/ ⁸⁶ Sr) _i	(¹⁴³ Nd/ ¹⁴⁴ Nd) _i	年龄(Ma)	资料来源
福清沙浦	斜长角闪岩	Sm-Nd		0.512484±0.00002	509±20.0	
莆田东庄	斜长角闪岩	Sm-Nd		0.512474±0.00007	463±15.0	[14]
晋江围头	斜长角闪岩	Sm-Nd		0.51247±0.00007	463±15.0	
东山苏峰山	石榴二云钾长片麻岩、变粒岩	Sm-Nd		0.511883±0.000115	535±170.3	[10]
福清沙浦	黑云角闪斜长变粒岩包体	Rb-Sr	0.7003 ±0.0003		483±21.0	[9]
莆田忠门	片麻状混合岩	U-Pb			593.3	[12]

从表3可以看出:加里东期变形变质岩SiO₂含量跨度大(50.46%—75.74%)。主要岩性

有:斜长角闪岩、变粒岩、石榴二云钾长片麻岩。

表 3 长乐-南澳变形变质带加里东期岩石化学成分(%)
Table 3 Chemical compositions (%) of Caledonian rocks from Changle-Nanao deformation metamorphic belt

采样地点	岩石名称	SiO ₂	TiO ₂	Al ₂ O ₃	Fe ₂ O ₃	FeO	MnO	MgO	CaO	Na ₂ O	K ₂ O	H ₂ O	P ₂ O ₅	DF
福清沙浦 ^[14]	斜长角闪岩	50.46	1.06	18.12	2.64	7.00	0.17	3.90	9.37	3.00	1.44	1.16	0.21	3.34
莆田东庄 ^[14]	斜长角闪岩	54.19	1.03	16.93	3.54	5.78	0.13	4.44	6.97	3.18	1.94	0.75	0.28	1.38
晋江围头 ^[14]	斜长角闪岩	50.94	0.92	18.10	2.97	6.40	0.18	4.60	7.76	2.82	2.20	2.14	0.18	1.92
东山冬古 ^[8]	石榴二云钾长片麻岩	70.24	0.59	15.46	1.14	3.13	0.10	1.24	1.71	2.34	1.94	1.68	0.13	-1.30
东山冬古 ^[8]	变粒岩	75.74	0.11	13.27	0.35	1.23	0.09	1.21	0.16	3.02	2.87	0.82	0.02	1.10

DF=10.44-0.2 SiO₂-0.32 FeO*-0.98 MgO+0.55 CaO+1.46 Na₂O+0.54 K₂O, DF 值为正, 是正变质岩; DF 值为负, 是负变质岩

斜长角闪岩:花岗变晶、筛状变晶结构。片状、块状构造。主要矿物成分为角闪石(50%—75%)、斜长石(25%—40%)和黑云母(5%);副矿物有:锆石、榍石、磷灰石、磁铁矿、钛铁矿等, 晶形较好。SiO₂ 含量 50% 左右, Al₂O₃ 平均 17.74%, TiO₂ 约 1.00%, FeO/Fe₂O₃ 值为 1.63—2.65, K₂O<Na₂O,CaO>MgO, DF 值大于 0, 为典型的正变质岩。

表 4 加里东期斜长角闪岩稀土元素丰度($\times 10^{-6}$)
Table 4 REE abundances ($\times 10^{-6}$) of Caledonia plagioclase hornblendites

采样地点	La	Ce	Pr	Nd	Sm	Eu	Gd	Tb	Dy	Ho	Er	Tm	Yb	Lu	Y	Σ REE
莆田莆田头山	17.40	44.29	5.96	26.41	5.35	1.76	5.29	0.88	4.79	1.00	2.66	0.42	2.46	0.43	24.88	119.09
莆田双告山	13.98	34.19	4.80	19.55	4.14	1.49	3.82	0.65	4.18	0.82	2.31	0.35	2.11	0.34	20.79	92.73
福清沙浦	13.64	18.72		14.58	2.33	0.95	2.34		1.92		1.31		2.11	0.22		58.12
福清沙浦	14.50	19.54		14.58	2.33	0.95	2.17		3.35		1.31		1.76	0.20		59.68
福清沙浦	10.23	15.47		11.15	1.81	0.81	2.08		2.00		1.31		2.11	0.20		47.18
莆田东庄	17.91	19.54		12.86	2.07	1.04	2.00		1.92		1.05		1.84	0.20		60.42
莆田东庄	13.64	21.98		14.58	2.16	0.78	2.08		1.83		0.96		1.58	1.13		59.72
晋江围头	11.09	18.72		12.00	2.24	0.73	2.26		2.18		1.49		1.93	0.20		52.84

据黄辉(1989)资料计算^[14]。

石榴二云钾长片麻岩:片麻状构造,花岗变晶结构。主要矿物:斜长石、钾长石、二云母、石榴石、石英。黑云母为镁黑云母,石榴石为铁铝榴石,石榴石具环带结构,MgO 向外环增加,MnO 向外环降低^[8]。全岩中 FeO>Fe₂O₃, Na₂O>K₂O,CaO>MgO, DF 值虽小于 0, 但偏离 0

值不远,综合考虑,其应为正变质岩。

变粒岩:碎斑状,斑状变晶结构,片状构造。主要矿物组合有:石榴石、白云母、黑云母、斜长石、钾长石、石英。钾长石呈斑晶,其边缘有蠕状石英。石英呈碎斑状,港湾构造,波状、条带状消光,构造重结晶,亚颗粒发育,流动状构造,微褶皱等塑性变形特征明显。石榴石为铁铝榴石,黑云母 FeO 为 24.46, K_2O 为 8.18, 具退变特征^[8]。岩石中 $\text{FeO} > \text{Fe}_2\text{O}_3$, $\text{Na}_2\text{O} > \text{K}_2\text{O}$, $\text{CaO} < \text{MgO}$, $\text{DF} > 0$, 故应为正变质岩。

稀土元素地球化学特征 加里东期斜长角闪岩稀土元素含量及部分参数见表 4。可以看出: ΣREE 含量较低 47.18×10^{-6} — 119.09×10^{-6} , 平均 66.22×10^{-6} ; LREE/HREE(以下简称 L/H) 为 5.36—8.07, 平均 6.30, 轻重稀土轻度分异; δEu 为 1.00—1.56, 平均 1.21, Eu 正异常; 轻斜率 $(\text{La}/\text{Sm})_N$ 为 2.05—5.44, 重斜率 $(\text{Gd}/\text{Yb})_N$ 为 0.80—1.75, 为轻稀土轻度富集, 重稀土平坦型。

构造环境判别 加里东期斜长角闪岩在 $\text{La}/\text{Yb}-\Sigma\text{REE}$ 双对数构造判别图(图 2)中落入大陆玄武岩或大陆拉斑玄武岩区。说明其可能为大陆拉斑玄武岩经后期变形变质而成, 其构造环境为板内稳定区。

3.2 中生代岩石地球化学特征

常量元素地球化学特征 本区缺乏晚古生代(海西期)变形变质岩。三叠纪末,地壳下降,接受沉积(文宾山组:细砂岩、粉砂岩、泥岩夹安山岩和凝灰岩)。晚侏罗世、早白垩世区内大规模岩浆和火山活动,伴随区域变质作用,地壳活动加剧。本区岩石绝大部分同位素年龄值介于 90—200Ma 之间,说明印支—燕山期为本带最主要的变形变质期。部分同位素年龄数据见表 5。

长乐-南澳变形变质带印支—燕山期部分岩石化学成分及 DF 值见表 6。该期形成的岩石有:片岩、片麻岩、混合花岗岩、熔岩、次火山岩等。

片岩: 主要为夕线石(红柱石)云母片岩、白云母片岩、云母石英片岩等。片状构造、鳞片变晶结构。主要矿物:白云母(少量黑云母)、石英及长石。特征矿物:夕线石、石榴石、红柱石、叶蜡石、高岭石等,局部片岩含炭质。石英、长石、云母塑性变形特征明显。石英波状消光、变形纹(变形条带)、亚颗粒发育。长石、云母具流动状构造;长石微褶、石香肠、云母膝折发育;长石环带消光,花岗岩捕虏片岩中还发育长石双晶。在 $(\text{al}-\text{alk})/\text{c}$ 图解中它们落在粘土岩区;在 $(\text{al}+\text{fm})-(\text{c}+\text{alk})/\text{Si}$ 图解里它们落在泥岩和砂岩区;在 K-A 图解中它们比较集中,落在泥质粉砂质岩区;在利克和威尔逊的 $(\text{al}-\text{alk})/\text{c}$ 图解中多数落在泥质沉积岩区;利用硅质模数 $\text{Al}_2\text{O}_3/\text{SiO}_2$ 判定其为砂岩、粉砂岩和粘土岩变质而成^[8]。结合其 DF 为负值,判断其可能为上三叠统文宾山组细砂岩、粉砂岩、泥岩经印支—燕山运动变质变形而成。

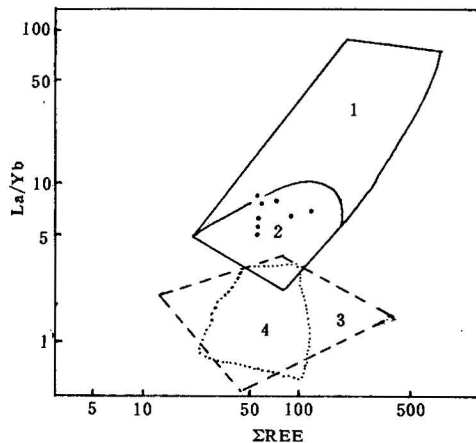


图 2 $\text{La}/\text{Yb}-\Sigma\text{REE}$ 构造判别图解

Fig. 2 $\text{La}/\text{Yb}-\Sigma\text{REE}$ double logistic diagram

1. 大陆玄武岩区; 2. 大陆拉斑玄武岩区; 3. 洋底和裂谷拉斑玄武岩区; 4. 岛弧和大陆造山带拉斑玄武岩区

1. Continent basalt; 2. continent tholeiite; 3. ocean bottom and rift valley tholeiite area; 4. Island arc and continent orogeny tholeiite area

表 5 中生代部分岩石等时线年龄及 $^{87}\text{Sr}/^{86}\text{Sr}$ 初始值Table 5 Isochron age and $^{87}\text{Sr}/^{86}\text{Sr}$ primitive value of Mesozoic partial rocks

采样地点	岩性	方法	$^{87}\text{Sr}/^{86}\text{Sr}$	年龄(Ma)	资料来源
东山冬古	片岩	Rb-Sr 全岩		202±12.0	[8]
晋江唐公山	混合片麻岩	Rb-Sr 全岩	0.7038±0.0040	97±2.0	[8]
福清沙浦	黑云角闪斜长变粒岩包体	Rb-Sr 全岩	0.7060±0.0010	202±12.0	[9]
平潭北厝	混合岩化变粒岩	Rb-Sr 全岩	0.7065±0.0009	202±12.0	[9]
晋江	混合片麻岩	Rb-Sr 全岩	0.7003±0.0006	177.7±7.3	[2]
晋江	细粒混合片麻岩	Rb-Sr 全岩	0.7052±0.0002	135.3±19.4	[2]
金门马祖	花岗片麻岩	Rb-Sr 全岩	0.7055±0.0003	165±13.0	[15]
金门	花岗片麻岩	Rb-Sr 全岩-矿物	0.7084±0.0001	95±2.0	[15]
金门	黑云角闪片麻岩	Rb-Sr 全岩-矿物	0.7060	96.7	[15]
金门	花岗片麻岩	Rb-Sr 全岩	0.7079±0.0005	109.2±7.0	[15]
金门	花岗片麻岩	Rb-Sr 全岩	0.7065±0.0007	98.1±12.4	[15]
金门马祖	片麻状花岗岩	Rb-Sr 全岩	0.70676±0.0008	95.5±4.0	[15]

表 6 印支—燕山期岩石化学成分(%)及 DF 值

Table 6 Chemical compositions (%) and DF value of Indo-china—Yanshania rocks

序号	岩石名称	SiO ₂	TiO ₂	Al ₂ O ₃	Fe ₂ O ₃	FeO	MnO	MgO	CaO	Na ₂ O	K	DF
1	二云夕线片岩	64.34	0.68	20.49	1.40	1.11	0.24	0.00	1.50	0.83	5.08	-0.99
2	白云片岩	79.87	0.05	12.44	0.84	0.31	0.01	0.12	0.04	0.57	3.19	-5.34
3	片岩	74.24	0.10	16.06	1.25	0.19	0.001	0.26	0.19	0.05	1.64	-4.78
4	白云夕线片岩	72.25	0.40	15.50	3.19	0.13	0.05	0.84	0.08	0.29	4.34	-3.70
5	二云夕线片岩	77.79	0.43	13.08	1.23	0.37	0.05	0.57	0.18	0.49	2.91	-4.54
6	片岩	69.65	0.51	16.97	1.00	2.77	0.14	0.70	2.40	3.50	1.43	1.16
7	片岩	65.63	0.70	20.64	3.30	0.64	0.04	0.60	0.10	0.38	5.47	-1.52
8	片岩	75.41	0.08	17.38	3.51	0.17	0.03	0.00	0.10	0.06	0.06	-6.33
9	片岩	75.54	0.09	16.99	2.81	0.13	0.02	0.001	0.10	0.11	1.43	-5.29
10	片岩	77.00	0.05	16.08	2.66	0.16	0.03	0.10	0.10	0.03	0.06	-6.48
11	片岩	81.25	0.09	16.00	1.13	0.24	0.03	0.00	0.00	0.05	0.20	-6.84
12	片岩	76.19	0.15	19.74	2.15	0.15	0.03	0.10	0.10	0.11	0.08	-6.07
13	黑云二长片麻岩	72.84	0.25	13.87	0.80	1.27	0.06	0.66	1.90	3.64	3.98	2.37
14	浅色二长片麻岩	75.93	0.21	12.45	0.46	0.82	0.04	0.92	1.02	3.51	4.81	1.48
15	细粒片麻岩	71.17	0.18	14.45	0.84	1.48	0.04	0.71	2.45	4.23	3.26	3.37
16	变斑状二长花岗岩	72.53	0.37	14.31	0.93	1.16	0.04	0.56	2.15	3.81	3.63	
17	晚侏罗世熔岩	70.18	0.39	14.18	1.36	1.99	0.07	0.88	1.93	3.09	4.23	
18	早白垩世熔岩	71.27	0.39	13.54	1.87	1.32	0.06	0.75	1.46	3.22	4.51	
19	晚侏罗世次火山岩	70.12	0.36	14.22	1.31	1.91	0.06	0.83	1.87	3.36	4.42	

注: 1—7 采自东山苏峰山, 1—5 据谢窦克(1989)^[8], 6—7 据陶于祥(1994)⁽¹⁾; 8—12 采自福清绵亭岭, 据陶于祥(1994)⁽¹⁾; 13—16 采自晋江, 据孙鼎(1984)^[2]; 17—19 为闽东火山岩, 据黄家厅(1985)^[18]。

(1) 陶于祥. 长乐—南澳变形变质带地质地球化学研究. 中国科学院地球化学研究所博士学位论文. 1994.

表 7 印支—燕山期片岩稀土元素成分($\times 10^{-6}$)Table 7 REE abundances($\times 10^{-6}$) of Indo-china—Yanshania schist

采样地点	La	Ce	Pr	Nd	Sm	Eu	Gd	Tb	Dy	Ho	Er	Tm	Yb	Lu	Y	Σ REE
绵亭岭	51.73	93.25	9.15	33.83	5.95	0.88	4.14	0.48	2.89	0.54	1.54	0.18	1.50	0.17	12.95	206.31
绵亭岭	45.45	90.17	8.62	33.59	5.54	0.93	4.20	0.48	3.04	0.63	1.53	0.23	1.12	0.13	14.84	196.20
绵亭岭	47.74	92.6	10.04	34.87	5.51	0.93	4.28	0.51	3.02	0.57	1.57	0.24	1.48	0.19	16.40	203.57
绵亭岭	70.07	103.81	9.91	34.71	6.57	1.04	5.38	0.70	3.84	0.66	1.91	0.24	1.19	0.14	15.00	240.17
绵亭岭	35.29	63.53	6.78	22.71	3.62	0.78	2.63	0.37	1.94	0.32	0.88	0.10	0.61	0.04	11.31	139.60
东山冬古	15.3	28		21	3.2	0.38	3.1		3.7		2.4		2.6		2.3	

分析单位:中国科学院贵阳地球化学研究所;东山冬古据谢窦克^[8]。

片麻岩:主要分布于晋江、金门、马祖地区。花岗变晶结构,片麻状构造。主要矿物:长石、石英、黑云母。特征矿物:磁铁矿。长石、石英从弱变形到强变形不等,长石双晶发育。在尼格里四面体图解中投影,大部分落入火成岩区;在(al-alk)/C图解中投影点在总体上表现出平行于长石线的变化趋势;结合其DF值为正的特征判定其应为正变质岩。与闽东火山岩、混合花岗岩相比,其岩石化学成分相近。

稀土元素地球化学特征 东山冬古片岩 Rb-Sr 等时线全岩年龄为 202±12Ma;福清绵亭岭变质岩为中生代凝灰岩变质而成^[8];晋江地区混合片麻岩(花岗岩)的同位素年龄为 100—177.7 Ma,它们均系中生代产物。

印支—燕山期片岩稀土元素含量及部分参数见表 7。可以看出: Σ REE 含量较高 139.60×10^{-6} — 240.17×10^{-6} ; L/H 为 16.08—19.25,轻重稀土强烈分异, δ Eu 为 0.44—0.77,Eu 负异常。总斜率(La/Yb)_N 高达 23.25—39.00,稀土分布模式曲线为向右陡倾型(图 3)。

晋江地区片麻岩、花岗岩、变英云闪长岩稀土元素总量较稳定, Σ REE 为 93.42×10^{-6} — 131.65×10^{-6} ,L/H 为 21.08—39.66,轻重稀土强烈分异,Eu 不亏损(无异常),稀土分布模式曲线向右陡倾^[8]。

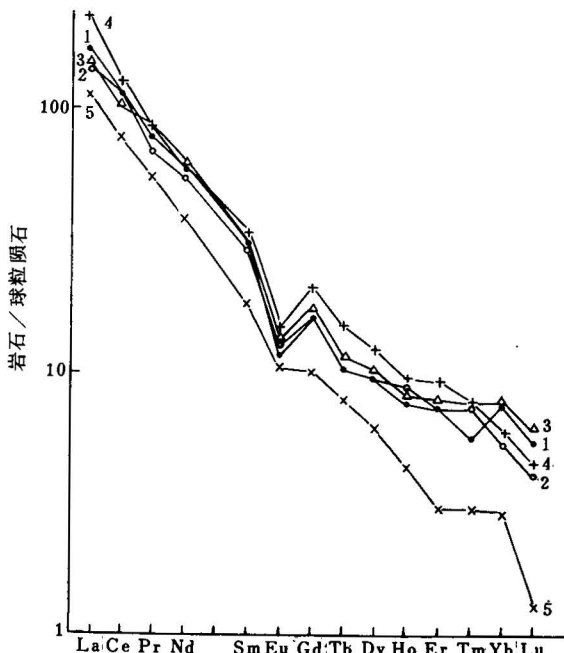


图 3 福清绵亭岭片岩稀土元素分布模式

Fig. 3 The REE distribution patterns of Fuqin Miantingling schist

4 结论

(1) 长乐-南澳变形变质带存在元古宙的古陆块,随后至少经历了加里东、印支、燕山、喜马拉雅等4期构造热事件。

(2) 加里东基底主要由斜长角闪岩、石榴二云钾长片麻岩、变粒岩等组成。岩石化学特征显示其为正变质岩;稀土元素分析可知:稀土总量较低, ΣREE 为 47.18×10^{-6} — 119.09×10^{-6} ;轻重稀土轻度分异,Eu正异常,为轻稀土轻度富集,重稀土平坦型。其构造环境为板内稳定区。

(3) 印支-燕山期盖层主要由片岩、混合岩化片麻岩、花岗岩、火山岩等组成。岩石化学判别片岩为负变质岩,可能为上三叠统文宾山组细砂岩、粉砂岩、泥岩变形变质而成;片麻岩与闽东火山岩、花岗岩(混合岩化)岩石化学成分相近,片麻岩为正变质岩。稀土元素总量较高, ΣREE 为 93.42×10^{-6} — 240.17×10^{-6} ;轻重稀土强烈分异,Eu为负—无异常,为轻稀土富集,重稀土强烈亏损型。

(4) 从加里东(460 — 600Ma)→印支燕山期(60 — 200Ma),岩石地球化学特征呈现规律性演化。 SiO_2 含量增加, FeO^* , MgO , CaO , TiO_2 含量下降;稀土元素总量由低→高,轻重稀土分异由弱→强,Eu从正→负,无异常,呈现规律性变化。

参 考 文 献

- 1 郭令智,施央申,马瑞士. 华南大地构造格架及地壳演化. 国际交流地质学术论文集(1). 北京:地质出版社,1980. 109—115页.
- 2 孙鼎. 中国东南沿海中生代火山岩混合岩化、花岗岩化作用的研究(以福建省晋江、东山地区为例). 花岗岩地质和成矿关系. 见:徐克勤、涂光炽主编. 国际花岗岩学术讨论会论文集. 南京:江苏科技出版社,1984. 202—214页.
- 3 任纪舜,陈廷愚,刘志刚,牛宝贵,刘风仁. 华南大地构造的几个问题. 科学通报,1986,(1):49—51.
- 4 陈国达. 陈国达地洼学说文选. 长沙:中南工业大学出版社,1986. 1—30页.
- 5 黄瑞华. 中国东部锡的构造地球化学. 北京:科学出版社,1989. 7页.
- 6 李根坤. 福建基底构造格局及其特征. 福建地质,1991,10(2):158—164.
- 7 肖诗兴. 闽—粤东南沿海大陆边缘韧性剪切带的基本特征. 现代地质,1988,2(1):67—80.
- 8 谢奕克,郭坤一. 中国东南岩石圈板块边界变质带. 北京:地质出版社,1989. 48—147页.
- 9 杨泰铭,黄文荣,柳昌华,徐安姑. 福建东南沿海存在古老基底的新证据. 大地构造与成矿学,1985,9(4):372.
- 10 谢奕克. 福建长乐-南澳变质带的O、Nd同位素特征. 南京地质矿产研究所所刊,1986,7(4):64—75.
- 11 俞文明,张秀兰,施满堂. 福建东山县澳角-冬古一带变质岩系中发现微体化石. 福建地质,1988,7(4):290.
- 12 许景伟. 湄洲湾变质岩系中获得下古界界年龄资料. 福建地质,1988,7(4):290.
- 13 黄辉,杨传夏,李荣安. 东山变质岩中采到早古生代植物化石. 福建地质,1988,7(4):290.
- 14 黄辉,李荣安,杨传夏. 平潭-南澳变质岩带的Sm-Nd年代学研究及其大地构造意义. 福建地质,1989,8(3):169—180.
- 15 Bor-Ming, Jahn, et al. Rb-Sr age of granite rock in southeastern China and their tectonic significance. Bull. Geol. Soc. Amer. 1976, 87:763—776.
- 16 高俊,张建新,王茎. 福建长乐-东山构造带的变形特征及动力学研究. 地质论评,1993, 39(1): 57—63.
- 17 朱杰辰,郑懋公,王扬德. 福建沿海地区岩浆岩的同位素地质年代学研究. 中国区域地质,1988,(2):150—157.
- 18 黄家厅,苏世川,洪尧萍. 中国东南沿海中生代火山岩地质及火山作用. 福建地质,1985, 4(4):18—48.

GEOCHEMISTRY OF THE CHANGLE-NANAO DEFORMATION METAMORPHIC BELT

Tao Yuxiang

(Nanjing Agriculture University, Resources and Environment Science Department, Nanjing, Jiangsu)

Ouyang Zhiyuan and Xie Hongshen

(Institute of Geochemistry, Academia Sinica, Guiyang, Guizhou)

Abstract

The study of isotope chronology shows that there possibly existed a Proterozoic continental block in the Changle-Nanao deformation metamorphic belt and that after the Proterozoic the Changle-Nanao deformation-metamorphism belt at least underwent 4 tectono-thermal events (Caledonian, Indosinian, Yanshanian and Himalayan). Petrochemical study shows: Caledonian basement rocks are positive metamorphic rocks; there are not only positive but also negative metamorphic rocks in the Indosinian-Yanshanian covers; there is a regular variation in the petrochemical composition from the Caledonian to Indosinian-Yanshanian metamorphic rocks, i. e. an increase of the SiO_2 content and a decrease of $\text{FeO}^* + \text{MgO} + \text{CaO} + \text{TiO}_2$. REE study indicates that the Caledonian basement rocks are characterized by a low ΣREE , a low ratio of LREE/HREE and positive Eu anomaly, showing a LREE-enriched and HREE-smooth pattern; whereas the Indosinian-Yanshanian covers have a high ΣREE , a high ratio of LREE/HREE and negative or no Eu anomaly, exhibiting a LREE-enriched and HREE-depleted pattern. There is a regular variation in the REE composition from Caledonian to Indosinian-Yanshanian metamorphic rocks, i. e. increases in ΣREE and LREE/HREE and a conversion from positive to negative or no Eu anomaly.

Key words: Changle-Nanao metamorphic rock, major element, REE.

作 者 简 介

陶于祥,1966年2月生,四川忠县人。1986年毕业于华东地质学院地质系,1989年获中国科学院长沙大地构造研究所构造地质专业硕士学位,1994年获中国科学院地球化学研究所地球化学专业博士学位,现为南京农业大学资源环境系博士后流动站博士后研究人员。通讯处:南京农业大学资源环境系,邮政编码:210095。